

## كشف تعابير الوجه في الفيديو الرقمي باستخدام خصائص حيزية و زمنية

ولاء رياض سفور<sup>1\*</sup> طلال حمود<sup>2</sup> فواز مفضي<sup>3</sup>

<sup>1</sup>. طالبة دكتوراه في قسم هندسة الإلكترونيات والاتصالات - كلية الهندسة الميكانيكية والكهربائية - جامعة دمشق. [walaa.saffour@damascusuniversity.edu.sy](mailto:walaa.saffour@damascusuniversity.edu.sy)

<sup>2</sup>. أستاذ مساعد، دكتور، في قسم هندسة الإلكترونيات والاتصالات - كلية الهندسة الميكانيكية والكهربائية - جامعة دمشق. [TalaHammoud@Damascusuniversity.edu.sy](mailto:TalaHammoud@Damascusuniversity.edu.sy)

<sup>3</sup>. دكتور مدرس في قسم هندسة الإلكترونيات والاتصالات - كلية الهندسة الميكانيكية والكهربائية - جامعة دمشق. [FawwazMufdi@Damascusuniversity.edu.sy](mailto:FawwazMufdi@Damascusuniversity.edu.sy)

### الملخص:

يُعد الكشف الآلي لتعابير الوجه في مقاطع الفيديو الرقمية من المواضيع البحثية الهامة في الوقت الحالي بسبب تطبيقاته المتعددة التي فرضها التطور التكنولوجي في السنوات الأخيرة، كما تُعد دقة الكشف التحدي الأكبر الذي يواجهه مطوري خوارزميات الكشف عن تعابير الوجه لتحقيق أفضل أداء ممكن. يركز هذا البحث على خوارزميات الطرائق التقليدية للكشف، حيث تم تحليل مقطع الفيديو في كل من المستويين الحيزي والزمني بهدف كشف تغيير التعبير من التعبير المحايد وحتى تعبير آخر من التعابير السبعة الأساسية وذلك خلال تتبع إطار المقطع، بالإضافة إلى إجراء تجارب عملية لاختبار دقة الخوارزمية (حيث بينت التجارب الوصول إلى دقة 98.87% على قاعدة بيانات CK+ مع مقارنة الخوارزمية مع الخوارزميات المماثلة بالتصنيف).

**الكلمات المفتاحية:** كشف تعابير الوجه، الفيديو الرقمي، الخصائص الهندسية، مخطط التدرجات الموجة HOG، الخصائص الزمنية، آلة شعاع الدعم SVM.

تاريخ الإيداع: 2023/1/18

تاريخ القبول: 2023/5/22



حقوق النشر: جامعة دمشق - سوريا،  
يحتفظ المؤلفون بحقوق النشر بموجب

CC BY-NC-SA

## Developing a Facial Expressions Recognition Algorithm for Digital Video

Walaa Read Saffour<sup>\*1</sup> Talal Hammoud<sup>2</sup> Fawwaz Mufdi<sup>3</sup>

<sup>\*1</sup>. PhD student in the Department of electronics and communications- Damascus University. [walaa.saffour@damascusuniversity.edu.sy](mailto:walaa.saffour@damascusuniversity.edu.sy).

<sup>2</sup>. Associated Professor in the Department of electronics and communications-Damascus University. [TalaHammoud@Damascusuniversity.edu.sy](mailto:TalaHammoud@Damascusuniversity.edu.sy).

<sup>3</sup>. Professor in the Department of electronics and communications- Damascus University. [FawwazMufdi@Damascusuniversity.edu.sy](mailto:FawwazMufdi@Damascusuniversity.edu.sy).

Received: 18/1/2023

Accepted: 22/5/2023



**Copyright:** Damascus University– Syria, The authors retain the copyright under a CC BY- NC-SA

### Abstract:

The automatic detection of facial expressions in digital video is one of the important research topics at the present time because of its multiple applications imposed by technological development in recent years. Detection accuracy is one of the challenges facing developers of facial expression detection algorithms to achieve the best possible performance. This research focuses on the algorithms of conventional methods, we developed an algorithm based on spatial and temporal stude of video frames to recognize expression change from neutral to one of the another seven expressions, we conducted practical experiments to test its accuracy (experiments showed an accuracy of 98.87% on CK+ dataset), in addition to compare it with algorithm with the same classification.

**Keywords:** facial expressions recognition, digital video, appearance features, geometric features, histogram of oriented gradients, landmarks, temporal features, support vector machine.

الخوارزمية في هذه الحالة بالخوارزمية الهجينه. تعاني الخوارزميات التقليدية من الدقة المنخفضة نسبياً بالمقارنة مع طرائق أخرى كخوارزميات التعلم العميق [4]، ونقصد هنا بالدقة مدى اقتراب نتائج الكشف للخوارزمية من التعبير الحقيقي الظاهر في مقاطع الفيديو، ومن هنا تبرز الحاجة إلى إيجاد آليات لزيادة دقة هذه الخوارزميات. يتضمن البحث تطوير خوارزمية ذات دقة عالية نسبياً معتمدة على الطرائق التقليدية لكشف التعبير في مقاطع الفيديو، ويقصد بذلك كشف انتقال تعبير الوجه من التعبير المحايد إلى تعبير آخر من التعبيرات السبعة.

### 1- الدراسات المرجعية السابقة:

تقترن العديد من الأبحاث العلمية خوارزميات تقليدية لكشف تعبير الوجه وباستخدام خصائص شكلية وهندسية مختلفة، فقد اقترح Kar وآخرون (2022) [5] خوارزمية تستخدم خاصية شكلية وهي تحليل النمط المتغير Variational Mode Decomposition (VMD) بالإضافة إلى مراحل أخرى تهدف إلى تقليص حجم البيانات، وقد استخدمو kernel extreme للتصنيف آلة التعلم الأقصى ذات النواة learning machine مستوى الإطار الواحد وقد كشفت تعبير الوجه لقاعدة بيانات CK+ بدقة 98.81%， بينما طور Kim وآخرون (2022) [6] خوارزمية لكشف تعبير الوجه على مستوى تتبع أطر المقطع بدقة 96.64% بالاعتماد على تغيير الأبعاد بين نقاط محددة ترسم الوجه تدعى نقاط الاستدلال landmarks وكذلك تغير الزوايا بين الخطوط الواقلة بين هذه النقاط وذلك أثناء تتبع الأطر مستخدمين للتصنيف آلة شعاع الدعم Support Vector Machine (SVM) وقد اعتمدوا على قاعدة بيانات CK+ للتدريب والاختبار، كما اقترح Haghpana وآخرون (2022) [7] دراسة مناطق محددة من

### المقدمة:

تصنف تعبيرات الوجه الأساسية حسب Darwin (1872) إلى ستة تعبيرات هي: الفرح، الغضب، الحزن، الدهشة، الاشمئزاز والخوف، بالإضافة إلى التعبير المحايد كتعبير سابع [1]، أضاف Ekman و Heider (1988) إليها تعبير الاحتقار ليصبح عدد التعبيرات الأساسية ثمانية تعبير [2]، يبيّن الشكل (1) تعبيرات الوجه الثمانية المذكورة مأخوذة من قاعدة البيانات CK+.



الشكل (1) تعبيرات الوجه الثمانية الأساسية [3]

يعد الكشف الآلي لتعبيرات الوجه في الفيديو الرقمي من المواضيع التي حازت على اهتمام الباحثين في الآونة الأخيرة، وذلك لما له من أهمية في تحقيق التفاعل بين الأجهزة والإنسان، والذي يمكن الاستفادة منه في تطبيقات متعددة، كمراقبة المرضى، السائقين والأطفال، وفي تفاعل الروبوتات مع الإنسان، بالإضافة إلى الألعاب التفاعلية وتطبيقات الواقع الافتراضي والواقع المعزّز. تُعرف الخوارزميات التقليدية في كشف التعبير على أنها الخوارزميات التي تعتمد إما على دراسة شكلية للوجه (أي دراسة بعض الخصائص الشكلية في أماكن محددة من صورة الوجه أو في الوجه كاملاً)، أو على دراسة هندسية للوجه (أي دراسة الأبعاد بين نقاط محددة في صورة الوجه ودراسة الزوايا التي تشكّلها الخطوط بين هذه النقاط)، أو على كل من الخصائص الشكلية والهندسية وتدعى

سفور، حمود و مفظي

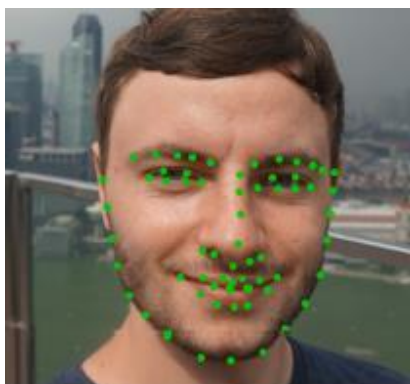
يمكن ويدعى إطار الذروة (peak frame)， وتكون الدراسة على مستوى الصورة فقط دون دراسة التغيرات الزمنية التي حدثت خلال تتبع الأطر حتى الوصول إلى الإطار المدروس.

2- الطائق المعتمدة على الدراسة على مستوى تتبع الأطر (sequense based)، لا تقتصر على الدراسة في المستوى الحيزي فقط وإنما تدرس أيضاً التغيرات الزمنية الحاصلة أثناء تتبع أطر مقطع الفيديو، وتعُد هذه الخوارزميات أشمل من خوارزميات النوع السابق [4].

## 2-2- الطائق التقليدية في كشف تعابير الوجه في المستوى الحيزي:

تُعد دراسة أطر مقطع الفيديو في المستوى الحيزي (مستوى الصورة) الركيزة الأساسية في عملية كشف التعابير، وتصنف خوارزميات الطائق التقليدية في كشف تعابير الوجه حسب نوع الخصائص الحيزيَّة المعتبرة إلى ثلاثة أصناف: الكشف باعتماد خصائص الأبعاد الهندسية، الكشف باعتماد الخصائص الشكلية، الكشف باعتماد الخصائص الهجينية.

1- الكشف باعتماد خصائص الأبعاد الهندسية: يتم في البداية إيجاد ما يسمى النقاط المرجعية أو نقاط الاستدلال (landmarks)، وهي نقاط ترسم ملامح الوجه كما يبيّن الشكل (2)، وتكون الخصائص المطلوب حسابها هي بعض المسافات بين هذه النقاط أو الزوايا التي تشكّلها الخطوط الوالصلة بين النقاط.



الشكل(2) نقاط الاستدلال في الوجه [11]

كشف تعابير الوجه في الفيديو الرقمي باستخدام.....  
الوجه أسموها مناطق الاهتمام حيث قاموا بدراسة الأبعاد بين نقاط الاستدلال من هذه المناطق وأيضاً كشف كافة التجاعيد ضمنها باستخدام مرشح تمريض متعدد للتصنيف الشبكة العصبية، وقد حققت هذه الخوارزمية دقة 96.12% على CK+، أيضاً ذكر الخوارزمية التي طورها Parra وآخرون [8] (2022)، معتمدين على رسم شبكة عنكبوتية تخيلية على الوجه والتي تقسمه إلى قطاعات ومن ثم حساب عدد نقاط الاستدلال ضمن كل قطاع، ومقارنتها مع جداول مخزنة مسبقاً لتحديد تعابير الوجه دون الحاجة إلى التدريب، وقد كشفت هذه الخوارزمية تعابير الوجه لقاعدة CK+ بدقة 91.5%. أيضاً اعتمد Kulkarni وآخرون (2021) [9] على نوعين من الخصائص وهما الأنماط الثنائيَّة المحليَّة (LBP) Local Binary Patterns، والأبعاد بين 19 نقطة من نقاط الاستدلال، لتطوير خوارزمية كشف تعابير الوجه بدقة 92% وباستخدام طريقة الجار الأقرب -K Nearest Neighbor (KNN) للتصنيف، معتمدين على قاعدة بيانات جديدة خاصة . أخيراً، ذكر الخوارزمية التي اقترحها Wang وآخرون (2021) [10] والتي تعتمد على إيجاد ما يسمى إطار الذروة في مقطع الفيديو وهو الإطار الذي يكون فيه تعابير الوجه مشبعاً لأقصى درجة ممكنة، ومن ثم دراسة تغيير الأبعاد والزوايا بين نقاط الاستدلال وذلك بين إطار الذروة والإطار المرجعي (الإطار الأول وهو إطار التعبير المحايد)، تم كشف التعابير باستخدام آلة شاعر الدعم وقد أعطت الخوارزمية دقة 98.73% على قاعدة بيانات CK+.

## 2- الأساسيات النظرية:

2-1- طائق كشف تعابير الوجه في مقاطع الفيديو:  
تقسم طائق كشف تعابير الوجه في الفيديو إلى مجموعتين:  
1- الطائق المعتمدة على الدراسة على مستوى الإطار frame based، تعتمد هذه الطائق على دراسة في المستوى الحيزي فقط وذلك على مستوى إطار واحد مختار من المقطع (عادةً هو الإطار الذي يكون فيه التعبير أوضح ما

سفور، حمود و مفظي

التكراري لزوايا أشعة التدرج ضمن الصورة. يمكن القول بأن مخطط التدرجات الموجهة لصورة الوجه هو واحدة من الخصائص الشكلية التي يمكن لها أن تعبّر عن تعابير هذا الوجه بشكل فعال [13].

بشكل عام يأخذ حساب مخطط التدرجات الموجهة في نافذة ما من صورة لوجي المرحلتين التاليتين: المرحلة الأولى: حساب قيم التدرجات ضمن النافذة، حيث يكون لدينا قيمة للتدرج عند كل بكسل معبر عنها كمطال وزاوية  $\emptyset$  تُحسب كما يلي:

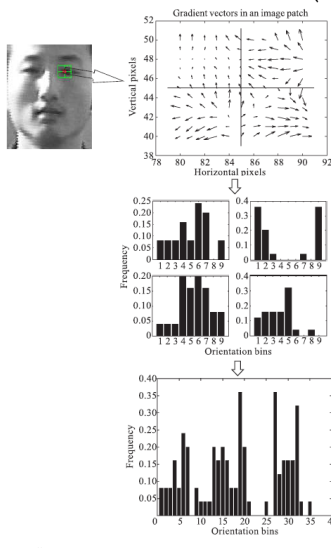
$$G_x = I(x+1, y) - I(x-1, y) \quad (1)$$

$$G_y = I(x, y+1) - I(x, y-1) \quad (2)$$

$$abs = \sqrt{G_x^2 + G_y^2} \quad (3)$$

$$\emptyset = arc \tan\left(\frac{G_y}{G_x}\right) \quad (4)$$

المرحلة الثانية: تقسيم النافذة إلى خلايا cells (على سبيل المثال خلية مؤلفة من  $8 \times 8$  بكسل)، ويؤخذ عدد من القيم لزوايا (عادةً 9 قيم)، ويحسب التوزيع التكراري لهذه الزوايا من أجل كل خلية، وهكذا يصبح لدينا مقابل كل خلية مصفوفة أحادية بعد مؤلفة من 9 عناصر، وتُجمع مصفوفات الخلايا في النهاية لتشكل مصفوفة واحدة كما يبيّن الشكل (4) [14],[15].



الشكل(4) مراحل إيجاد مخطط التدرجات الموجهة لنافذة من صورة

[14]

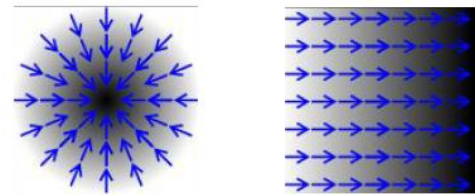
كشف تعابير الوجه في الفيديو الرقمي باستخدام.....

2- الكشف باعتماد الخصائص الشكلية: تعتمد هذه الخوارزميات على دراسة كتل (blocks) تتضمن مناطق محددة من الوجه وهي المناطق ذات التأثير في تعابير الوجه، مثل: منطقة العينين ومنطقة الأنف ومنطقة الفم، ومن ثم دراسة الشكل الموجود ضمن هذه الكتل. توجد العديد من الخصائص المعتبرة عن الشكل الموجود في صورة أو كتلة منها، مثل الأنماط الثنائية المحلية local binary histogram patterns(LBP) ومخطط التدرجات الموجهة of oriented gradients(HOG) وغيرها.

3- الكشف باعتماد الخصائص الهجينية: يتم الاعتماد على كل من النوعين السابقين أي دمج الخصائص الشكلية مع خصائص الأبعاد الهندسية بهدف الحصول على خوارزمية ذات دقة كشف عالية [1]. وتعتبر الخوارزمية المقترنة في هذا البحث من هذا النوع.

### 2-3- مخطط التدرجات الموجهة :Oriented Gradients(HOG)

يشير مصطلح التدرج في الصورة إلى الاتجاه الذي يتغير فيه السطوع ضمن الصورة بالإضافة إلى شدة تغير هذا السطوع كما يبيّن الشكل(3)، حيث نرى التدرج كأشعة لكل منها مطال واتجاه، يعبر اتجاه الشعاع عن اتجاه تغير السطوع، بينما يعبر مطال الشعاع عن شدة هذا التغير.



الشكل(3) التدرج ضمن الصورة [12]

أما مصطلح التوزيع التكراري أو الهيستوغرام histogram فهو قيمة إحصائية تعبر عن توزيع عناصر محددة على مجموعة من الخانات المعلومة مسبقاً، بمعنى آخر مررت تكرار كل قيمة من قيم هذه الخانات، بينما يعبر مصطلح مخطط التدرجات الموجهة أو هيستوغرام التدرجات الموجهة histogram of oriented gradients(HOG) عن التوزع

سفور، حمود و مفظي

كالمثال المشروع سابقاً، تمثل عملية التدريب في إيجاد كل من  $b$ ,  $w_1, w_2, \dots, w_n$ , أما في الحالة العامة (عدد التصنيفات  $n$ )

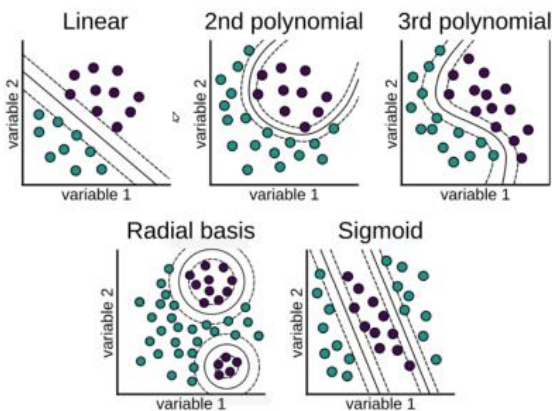
فتكون المعادلة:

$$d = \sum_{i=1}^n w_i x_i + b \quad (6)$$

وتكون مهمة التدريب إيجاد  $W, b$  حيث:

$$W = [w_1, w_2, \dots, w_n]^T \quad (7)$$

بعض البيانات تكون غير قابلة للفصل بشكل خطى، لذلك تستخدم توابع معينة لفصل البيانات تدعى توابع النواة Hyperbolic kernel functions، مثل تابع الظل القطعى tangent function (sigmoid) والتابع متعدد الحدود polynomial function وتابع الأساس الشعاعي الغاوسي Gaussian radial basis function(RBF). نجد في الشكل (6) أشكال بعض توابع النواة لآلية شعاع الدعم.



الشكل (6) أمثلة عن توابع نوى SVM [18]

يمكن توظيف آلة شعاع الدعم من أجل التصنيف متعدد الخصائص multiple feature classification، وذلك إما عبر جمع الخصائص مع بعضها لتشكل خاصية واحدة بعد أبعاد كبير، أو يمكن تدريب عدة آلات شعاع دعم بخاصية واحدة لكل منها كما يبيّن الشكل (7) بحيث تُعطي كل آلة نتيجة مستقلة، ومن ثم تُجمع نتائج المصنفات بطريقة ما للحصول على نتيجة واحدة وهذا يُعرف باسم آلة شعاع الدعم متعددة الرأي multi-view SVM، ومن طرائق جمع نتائج المصنفات طريقة تصويت الأغلبية majority voting حيث يؤخذ الخرج الأكثر تكراراً لنتائج المصنفات كخرج النهائي [19,20].

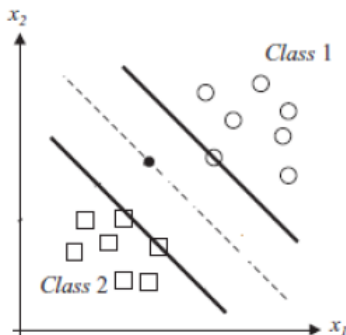
كشف تعابير الوجه في الفيديو الرقمي باستخدام.....

## 2-4- آلة شعاع الدعم Support Vector Machine(SVM)

آلية شعاع الدعم هي عبارة عن آلية اتخاذ قرار ذات أساس رياضي معتمدة على التعلم، لها العديد من الاستخدامات التي من أهمها التصنيف classification [16].

سنفترض أن لدينا عدد  $L$  من عينات التدريب وكل عينة يمكن أن تأخذ واحداً من تصنيفين class1, class2 وأن التصنيف يعتمد على اثنين من الخصائص  $x_1, x_2$  تشكلان مصفوفة الخصائص  $X$  حيث  $X=[x_1, x_2]$ ، ويكون لدينا مصفوفة التدريب  $Y$  حيث  $Y=[X_1, X_2, \dots, X_L]^T$  (اعتبرنا عدد التصنيفات والخصوصيات 2 لسهولة الشرح وسهولة التمثيل البياني). يمكن أن نرى في الشكل (5) موقع عينات التدريب مع تصنيفاتها منسوبة إلى المحورين الإحداثيين وملحوظة أنه يمكن الفصل بين عينات التصنيفين بخط مستقيم يدعى الخط الفاصل (ذلك يطلق على هذا النوع من البيانات البيانات القابلة للفصل خطياً) نلاحظ أيضاً مستقيمين موازيين للخط الفاصل يمران بأقرب عينة من هذا المستقيم ويطلق عليهما اسم الشعاعين الداعمين support vectors. توجد عدد من المستقيمات الممكنة كاحتمالات للفصل بين العينات حيث تكون معادلة المستقيم الفاصل بين العينات:

$$w_1 x_1 + w_2 x_2 + b = 0 \quad (5)$$

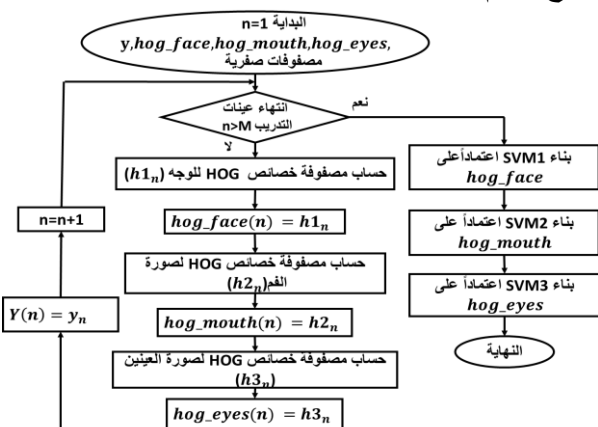


الشكل (5) المبدأ العام لآلية شعاع الدعم [17]

يتمثل الهدف في آلة الشعاع الداعم في إيجاد أفضل معادلة للمستقيم الفاصل، وبالتالي يمكن معرفة تصنيف عينة جديدة حسب موقعها من هذا المستقيم، في حالة صنفين فقط

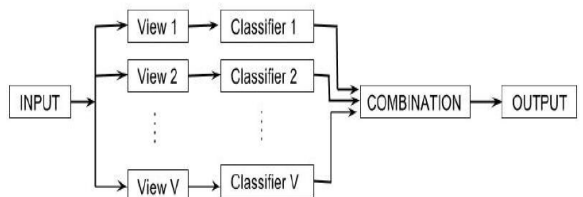
نجد في الشكل(8) المخطط التدفقى الخاص بالتدريب على المستوى الحيزى والذى يهدف لبناء آلات شعاع الدعم الثلاث الأولى حيث يتم المرور على جميع الصور ذات التعبير المشبعة ضمن مقاطع الفيديو (أى الصور التي يكون فيها تعبير الوجه ظاهراً بشكله الأقصى) ، والتي ترددوا قاعدة البيانات CK+، ولكن عدد هذه الصور  $M$  مساوياً لعدد مقاطع الفيديو المخصصة للتدريب، سنطلاق على هذه الصور اسم صور التدريب، من كلّ صورة يتم اقتطاع صورتين جزئيتين هما صورة العينين وصورة الفم كما يبيّن الشكل (9)، وهكذا يكون لدينا ثلاثة صور: صورة الوجه كاملاً، صورة العينين وصورة الفم. عند كل مرور بصورة تدريب يتم إجراء ما يلي:

1- لتشكيل آلة شعاع الدعم الأولى: يُستخرج مخطط التدرجات الموجّهة HOG لصورة الوجه الكامل، نرمز لمصفوفة مخطط التدرجات الموجّهة للوجه  $h1_n$  حيث  $n$  دليل الصورة الحالىة، ويكون لها الأبعاد  $1 \times H_1 W_1$  حيث  $H_1$  طول صورة الوجه و  $W_1$  عرضها أي أنّ أبعاد المصفوفة السابقة هو  $65536 \times 1$ ، ثُضاف المصفوفة  $hog\_face$   $h1_n$  إلى المصفوفة الكلية الخاصة بالتدريب  $y$ ، وهي مصفوفة تتضمّن كلّ عيّنات التدريب الخاصة بآلة شعاع الدعم الأولى.



الشكل (8) المخطط التدفقى لعملية التدريب في المستوى الحيزى  
[الباحث]

### كشف تعبير الوجه في الفيديو الرقمي باستخدام.....



الشكل (7) استخدام مصنفات متعددة [20]

### 3- الخوارزمية المقترحة :

تدرس الخوارزمية المقترحة مقطع الفيديو على مستوى تتبع الأطر، وكما هو الحال في خوارزميات هذا الصنف يكون الهدف كشف انتقال التعبير من التعبير المحايد وحتى تعبير آخر من التعبيرات السبعة. تعتمد الخوارزمية على استخراج خصائص شكلية وخصائص هندسية في المستوى الحيزى من المقطع، لذلك فهي تُصنف من الخوارزميات الهجينية.

اعتمد في الخوارزمية المقترحة على قاعدة بيانات CK+ لكل من التدريب والاختبار ، وهي قاعدة بيانات تحوى 593 مقطع فيديو لـ123 شخص من أعمار وجنسيات مختلفة، بحيث يتم الانتقال في كل مقطع من التعبير المحايد إلى واحد من التعبيرات السبعة الأخرى بفترة بين أجزاء من الثانية إلى ثلث ثوان، وبمعدل إطار 30 إطار في الثانية وتميّزت 640x480 بكسل. حُصص 40% من قاعدة البيانات للتدريب و 60% منها للاختبار. قبل كلّ من عملية التدريب والاختبار يجري كشف وتحديد الوجه لأطر مقطع الفيديو المخصص للتدريب أو الاختبار وذلك باستخدام خوارزمية Viola-Jones وتغيير أبعاد صورة الوجه ليصبح ذات أبعاد موحدة  $256 \times 256$  بالإضافة إلى إيجاد نقاط الاستدلال لجميع الأطر.

### 3-1- التدريب :

تعتمد مرحلة التدريب على بناء أربع آلات شعاع دعم متعددة الأصناف بدل آلة واحدة، بحيث أن كل آلة شعاع دعم تعامل مع خاصيّة محدّدة، وتعطي نتيجة مستقلّة، تكون آلات شعاع الدعم الثلاثة الأولى مخصصة للدراسة في المجال الحيزى، أمّا آلة شعاع الدعم الرابعة فهي خاصة بال المجال الزمني.

سفور، حمود و مفظي

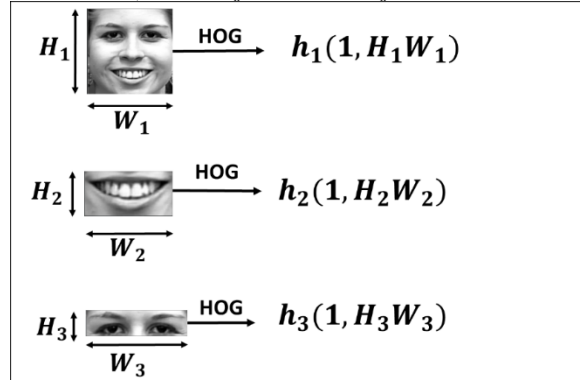
4-أخذ تعبير الوجه الخاص بكل صورة تدريب  $y_n$  والذي تزوده قاعدة البيانات، وإضافته إلى المصفوفة الخاصة بالتعابير  $Y$ .

تصبح مجموعات التدريب الخاصة لكل آلة شعاع دعم جاهزة بعد الخروج من الحلقة، فمن أجل آلة شعاع الدعم الأولى يكون لدينا عينات تدريب عددها  $M$ ، نرمز للعينة الأولى  $H_1$  وعمرها  $W_1$  حيث  $hog\_face_n$  حيث  $i = 1, 2, \dots, M$ ، عدد الخصائص لكل عينة  $H_1 W_1$ . وكل عينة لها قيمة تعبير مقابل  $Y_n$  والذي يمكن أن يأخذ إحدى القيم الثمانية الأساسية، أي أن مجموعة التدريب لآلة شعاع الدعم الأولى هي  $\{hog\_face_n, Y_n\}$ ، ومن أجل آلة شعاع الدعم الثانية تكون مجموعة التدريب  $\{hog\_mouth_n, Y_n\}$  وعدد الخصائص لكل عينة  $H_2 W_2$ ، بينما آلة شعاع الدعم الثالثة تكون مجموعة تدريبيها  $\{hog\_eye_n, Y_n\}$  وعدد الخصائص لكل عينة  $H_3 W_3$ . نلاحظ أن آلات شعاع الدعم الثلاث السابقة مخصصة لتقدير صورة واحدة وليس لاختبار تتابع صور (مقطع فيديو)، وستكون مهمتها تقدير التعبير الظاهر في إطار واحد فقط من مقطع الفيديو عبر دراسته في المجال الحيّزي (إيجاد مخططات التدرجات الموجّهة السابقة).

بالنسبة لآلة شعاع الدعم الرابعة فهدفها تقدير الإطارات ضمن مقطع الفيديو في المستوى الزمني ويتم تدريبيها عن طريق خاصية تحسب من إطارات من مقطع الفيديو بما الإطار المرجعي (إطار التعبير الطبيعي) وإطار الذرة حيث تُحسب خمس عشرة مسافة بين نقاط الاستدلال لكل من الإطارات كما يبين الشكل (10)، وتشكّل هذه المسافات مصفوفة نطق عليها اسم مصفوفة المسافات:

$$d_n = [d_{1,n}, d_{2,n}, \dots, d_{15,n}]$$

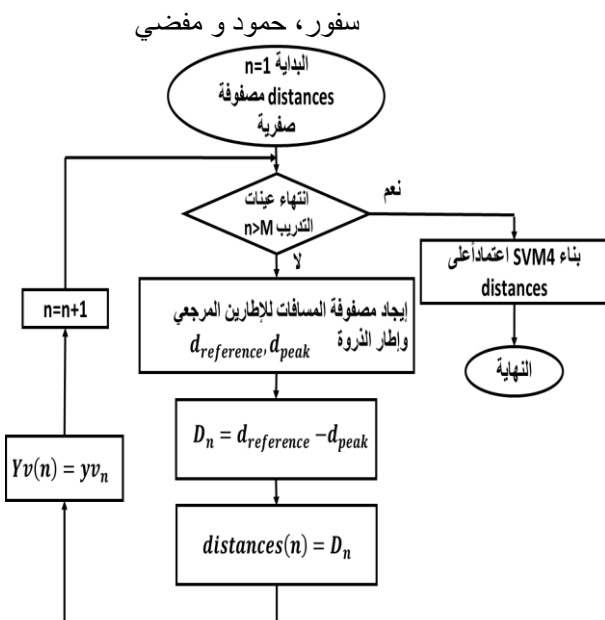
كشف تعابير الوجه في الفيديو الرقمي باستخدام.....



الشكل (9) استخراج خصائص آلات شعاع الدعم المخصصة للمجال الحيّزي [الباحث]

2- لتشكيل آلة شعاع الدعم الثانية: يُستخرج مخطط التدرجات الموجّهة HOG لصورة الفم (بعد اقتطاعها من صورة الوجه وتغيير أبعادها إلى  $200 \times 100$  وذلك بهدف توحيد أبعاد صور الفم المخصصة للتدريب). نرمز لمصفوفة مخطط التدرجات الموجّهة للفم  $h2_n$  حيث  $n$  دليل الصورة الحالية، ويكون لها الأبعاد  $1 \times H_2 W_2$  أي  $20000 \times 1$  حيث  $H_2$  طول صورة الفم و  $W_2$  عرضها، تُضاف المصفوفة  $h2_n$  إلى المصفوفة الكلية الخاصة بالتدريب  $hog\_mouth$  والتي سيكون لها الأبعاد  $M \times H_2 W_2$  عند الخروج من الحلقة، وهي مصفوفة تتضمّن كلّ عينات التدريب الخاصة بآلة شعاع الدعم الثانية.

3- لتشكيل آلة شعاع الدعم الثالثة: يُستخرج مخطط التدرجات الموجّهة HOG لصورة العينين (بعد اقتطاعها من صورة الوجه وتغيير أبعادها إلى  $100 \times 100$  وذلك بهدف توحيد أبعاد صور العينين المخصصة للتدريب). نرمز لمصفوفة مخطط التدرجات الموجّهة للفم  $h3_n$  حيث  $n$  دليل الصورة الحالية، ويكون لها الأبعاد  $1 \times H_3 W_3$  حيث  $20000 \times 1$  حيث  $H_3$  طول صورة العينين و  $W_3$  عرضها، تُضاف المصفوفة  $h3_n$  إلى المصفوفة الكلية الخاصة بالتدريب  $hog\_eyes$  والتي سيكون لها الأبعاد  $M \times H_3 W_3$  عند الخروج من الحلقة. وهي مصفوفة تتضمّن كلّ عينات التدريب الخاصة بآلة شعاع الدعم الثالثة.



الشكل (11) المخطط التدفقي لعملية التدريب الخاصة بال المجال الزمني [الباحث]

وهكذا فإن مجموعة التدريب الخاصة بآلية شعاع الدعم الرابعة هي  $\{distances_n, Yv_n\}$  وعدد الخصائص لكل عينة هو 15.

### 3-2- الاختبار:

تقسم عملية الكشف باستخدام الخوارزمية المقترنة إلى المراحل الأساسية التالية:

**المرحلة الأولى:** مرحلة تمهيدية تتضمن كشف وتحديد ملامحة الوجه في مقطع الفيديو باستخدام خوارزمية Viola-Jones، وإيجاد نقاط الاستدلال لجميع إطار المقطع.

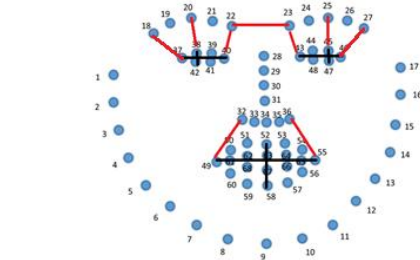
**المرحلة الثانية:** تحديد إطار الذروة، وهو الإطار الأكثر اختلافاً عن الإطار المرجعي (إطار التعبير الطبيعي والذي يكون الإطار الأول في المقطع).

**المرحلة الثالثة:** دراسة إطار الذروة في المجال الحيز.

**المرحلة الرابعة:** دراسة إطار الذروة في المجال الزمني.

**المرحلة الخامسة:** اتخاذ قرار بشأن تعبير الوجه ضمن مقطع الفيديو بالاعتماد على نتائج الدراسة في كل من المجالين الحيز والزمني.

### كشف تعابير الوجه في الفيديو الرقمي باستخدام.....



الشكل(10) المسافات المحسوبة بين نقاط الاستدلال [الباحث]

يوضح الشكل (11) المخطط التدفقي لعملية تدريب آلية شعاع الدعم الرابعة، والتي تتضمن المرور على كامل عينات التدريب (مقاطع الفيديو المخصصة للتدريب من قاعدة البيانات CK+)، ومن أجل كل عينة تُحسب مصفوفة الفرق  $D$ ، والتي تمثل الفرق بين مصفوفتي المسافات لكل من إطاري الذروة والإطار المرجعي لعينة التدريب الحالية:

$$D_n = d_{reference} - d_{peak}$$

ثم تضاف مصفوفة الفرق المحسوبة إلى المصفوفة الكلية المخصصة لتدريب آلية شعاع الدعم الرابعة وهي  $distances$ ، عند الانتهاء من كل عينات التدريب والخروج من الحلقة سيصبح للمصفوفة  $distances$  الأبعاد  $M \times 15$  حيث  $M$  عدد عينات التدريب بالإضافة إلى ما سبق يتمأخذ تعبير الوجه الظاهر في مقطع الفيديو الحالي إلى المصفوفة  $Yv$  والتي ستحوي التعابير المقابلة لخاصية الزمنية الموجودة في المصفوفة  $distances$ .

سفور، حمود و مفضي

$H_1W_1$ , وتدخل هذه المصفوفة على آلة شعاع الدعم الأولى SVM1 والمدرّبة مسبقاً، والتي ستعطي قرار مستقلّ بشان تعبير الوجه نرمز له ب  $y_1$ .

2- دراسة صورة الفم بعد اقتطاعها من صورة الوجه وتغيير أبعادها ليصبح  $200 \times 100$  بهدف توحيد أبعاد صور الفم المخصصة لاختبار، وتحسب مصفوفة مخطط التدرجات الموجّهة لصورة الفم hog2 ذات الأبعاد  $H_2W_2 \times 1$  أي  $20000 \times 1$  وتدخل هذه المصفوفة على آلة شعاع الدعم الثانية SVM2 والمدرّبة مسبقاً، والتي ستعطي قرار مستقلّ بشان تعبير الوجه نرمز له ب  $y_2$ .

3- دراسة صورة العينين بعد اقتطاعها من صورة الوجه وتغيير أبعادها ليصبح  $100 \times 100$  بهدف توحيد أبعاد صور العينين المخصصة لاختبار وتحسب مصفوفة مخطط التدرجات الموجّهة لصورة العينين hog3 ذات الأبعاد  $H_3W_3 \times 1$  أي  $20000 \times 1$ ، وتدخل هذه المصفوفة على آلة شعاع الدعم الثالثة SVM3 والمدرّبة مسبقاً، والتي ستعطي قرار مستقلّ بشان تعبير الوجه نرمز له ب  $y_3$ .

في نهاية التحليل الحيّزي أصبح لدينا ثلاثة قرارات مختلفة عن تعبير الوجه قد يتماثل وقد تختلف فيما بينها.

### 3-3- تحليـل إطـار الذـروـة فـي المـجـال الـزـمنـي:

يتضمن هذا التحليل دراسة كل من الإطارات المرجعي وإطار الذروة، حيث يُحسب كل من مصفوفتي المسافات لهما:

$$d_{reference} = [d_{r,1}, d_{r,2}, \dots, d_{r,15}]$$

$$d_{peak} = [d_{p,1}, d_{p,2}, \dots, d_{p,15}]$$

ثم تُحسب مصفوفة الفرق:

$$D = d_{peak} - d_{reference}$$

يوضح الشكل (13) عملية إيجاد مصفوفة الفرق لمقطع فيديو.

تدخل مصفوفة الفرق إلى آلة شعاع الدعم SVM4 المدرّبة مسبقاً والتي تُعطي في خرجها قراراً مستقلّاً عن تعبير الوجه الذي قد يتماثل أو يختلف عن التعبيرات التي أعطتها آلات شعاع الدعم الثلاث السابقة.

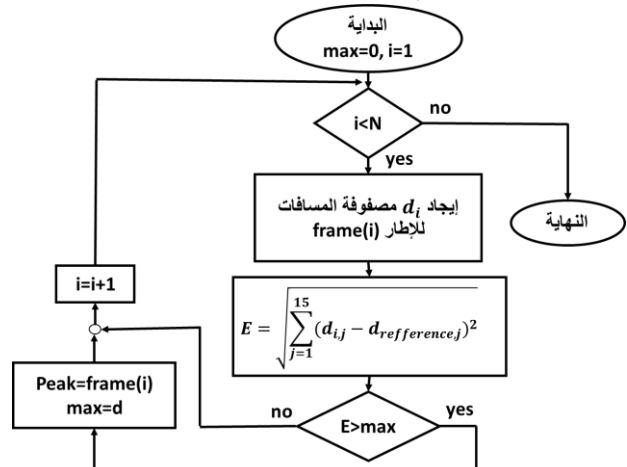
كشف تعابير الوجه في الفيديو الرقمي باستخدام.....

### 3-2-1- تحـدـيد إـطـار الذـروـة:

إطار الذروة frame peak هو الإطار الأكثر اختلافاً عن إطار التعبير المحايد والذي يكون عادةً الإطار الأول في قواعد البيانات، نجد في الشكل (12) المخطط التدفقي لتحديد إطار الذروة في مقطع الفيديو، حيث يتم المرور على جميع الأطر في مقطع الفيديو المدروس، وحساب مصفوفة المسافات  $d_i$  لجميع الأطر ثم حساب المسافة الإقليدية بين مصفوفة المسافات  $d_i$  ومصفوفة المسافات للإطار المرجعي  $d_{reference}$  حسب العلاقة:

$$E = \sqrt{\sum_{j=1}^{15} (d_{i,j} - d_{reference,j})^2}$$

إذا كانت المسافة أكبر من القيمة العظمى max (والتي تأخذ القيمة الابتدائية 0) فعندها يتم تحديث قيمة max،  $max = E$ ، واعتبار الإطار الحالي هو إطار الذروة والإطار يتم الانتقال إلى إطار جديد، يكون إطار الذروة هو الإطار الذي تطبق عليه كل من الدرستن الحيّزي والزمئي بهدف كشف تعبير الوجه في مقطع الفيديو.



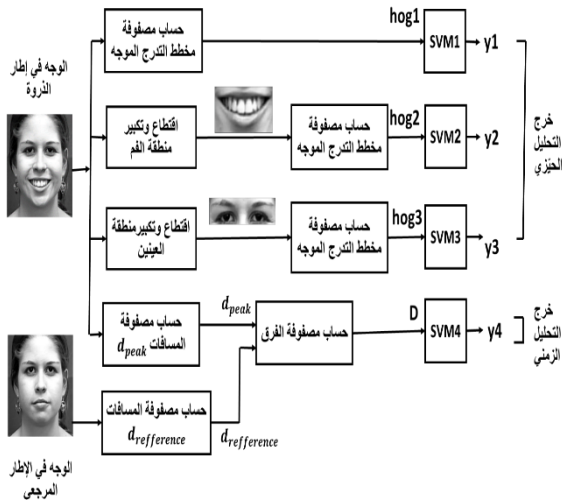
الشكل (12) المخطط التدفقـي لإيجـاد إـطـار الذـروـة [الباحث]

### 3-2-2- تحـلـل إـطـار الذـروـة فـي المـجـال الـحـيـزـي:

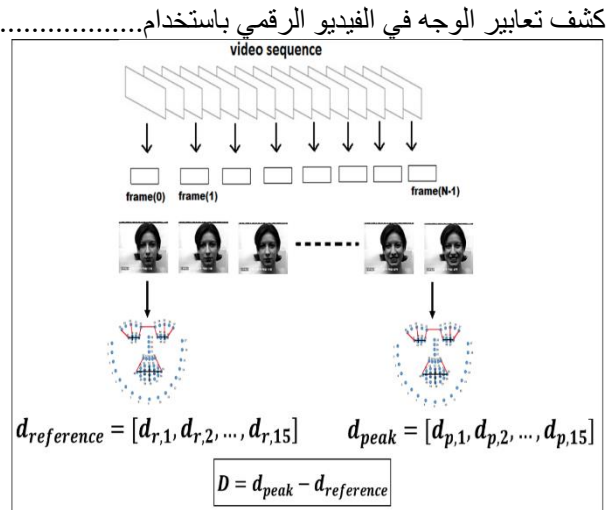
تقسم عملية تحليـل إـطـار الذـروـة فـي المـجـال الـحـيـزـي إلى ما يلي:

1- دراسة الوجه كاملاً حيث تُحسب مصفوفة مخطط التدرجات الموجّهة لصورة الوجه hog1 ذات الأبعاد  $1 \times 1$

سفور، حمود و مفضي  
التعبير الموفق لها هو تعبير الوجه الظاهر في مقطع الفيديو.



الشكل (14) المخطط الوظيفي لتحليل إطار الذرة [الباحث]



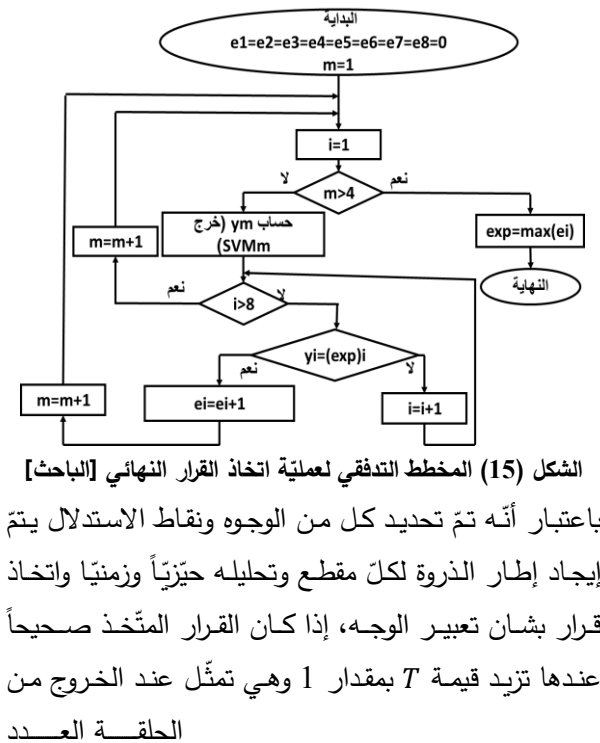
الشكل (13) إيجاد مصفوفة الفرق لمقطع فيديو [الباحث]

نتيجة كل من التحليلين الحيزاني والزمني لإطار الذرة يكون لدينا أربعة تعبير وجه للفيديو، كل تعبير ناتج عن آلية شعاع دعم. يبين الشكل (14) المخطط الوظيفي لعملية تحليل إطار الذرة حيزياً وزمنياً.

#### 4-2-3 اتخاذ القرار:

يمكن سبب استخدام عدة آلات شعاع دعم في الاحتمال الضعيف لإعطائها مجتمعة نفس النتيجة الخاطئة، وبالتالي زيادة دقة الخوارزمية. تعتمد عملية اتخاذ القرار على التصويت بالأغلبية majority voting على نتائج آلات شعاع الدعم الأربع، حيث يجري البحث عن التعبير الأكثر تكراراً كخرج كما يبين المخطط التدفقي في الشكل (15)،

ونلاحظ في البداية قيم مميزة للتعبير لكل منها القيمة 0، يتم المرور على آلات شعاع الدعم الأربع الواحدة تلو الأخرى، وعند كل آلة منها يتم المرور على التعبير الثمانية وفحص شرط مساواة خرج آلة شعاع الدعم لكل تعبير، فإذا كان التساوي محققاً عندها نزيد القيمة المميزة  $e$  للتعبير الحالي وننتقل إلى آلة شعاع الدعم التالية وإلا نفحص التعبير التالي. بعد الانتهاء من المرور على كل آلات شعاع



الشكل (15) المخطط التدفقي لعملية اتخاذ القرار النهائي [الباحث]  
باعتبار أنه تم تحديد كل من الوجوه و نقاط الاستدلال يتم إيجاد إطار الذرة لكل مقطع وتحليله حيزياً وزمنياً واتخاذ قرار بشأن تعبير الوجه، إذا كان القرار المتخذ صحيحاً عندها تزيد قيمة  $T$  بمقدار 1 وهي تمثل عند الخروج من الحلقة العدد

#### الكلي لمقاطع

الفيديو التي كُشف التعبير فيها بشكل صحيح، وتحسب دقة الخوارزمية من العلاقة  $Acc = (T/L) \times 100$

الدعم ستكون القيم المميزة للتعبير قد تغيرت، وتبقى الخطوة الأخيرة هي معرفة القيمة المميزة الأكبر منها، واعتبار

سفور، حمود و مفظي

الشعاعي الغاوي كتابع نواة للSVM، ونجد في الجدول (1) مصفوفة الارتباط في هذه الحالة والتي توضح الدقة لكل تعبير من التعبيرات السبعة التي تم الانتقال إليها بدءاً من التعبير المحايد، بالإضافة إلى التعبيرات الخاطئة كنسبة مؤدية، تعتبر الرموز في الجدول عن التعبيرات كما يلي: الدهشة: SU، الخوف: FE، الفرح: HA، الحزن: SA، الشفقة: DI، الغضب: AN، الاحتقار: CO.

الجدول (1) مصفوفة الارتباط لخوارزمية [الباحث]

	SU	FE	HA	SA	DI	AN	CO
SU	99	0	0.8	0	0	0.2	0
FE	0	98	1	0	1	0	0
HA	0.7	1	98	0	0	0	0.3
SA	0	0	0	98	1	0.3	0.7
DI	0	0.8	0.2	0	99	0	0
AN	0.5	1.4	1.2	0.3	1.2	95	0.4
CO	0	0	1.3	0	0.7	0	98

نجد في الجدول (2) دقة نتائج كل آلية شعاع دعم، بالإضافة إلى الدقة النهائية لخوارزمية وذلك لعدة نوى لآلات شعاع الدعم، ويمكن ملاحظة ما يلي:

- يعطي الجمع بين نتائج آلات أشعة الدعم حسب آلية اتخاذ القرار السابقة دقة أعلى من دقة كل آلية شعاع دعم.
- التابع الأمثل للنواة هوتابع الأساس الشعاعي الغاوي حيث أعطى أعلى دقة ممكنة لآلات شعاع الدعم ولدقة النهائية.

الجدول (2) دقة الخوارزمية لعدة توابع نوى لأشعة الدعم [الباحث]

الدقة النهائية	دقة SVM4	دقة SVM3	دقة SVM2	دقة SVM1	التابع

### كشف تباينات الوجه في الفيديو الرقمي باستخدام..... 3-3- النتائج:

نفذت الخوارزمية وأختبرت بلغة بايثون نسخة 3.6، باستخدام حاسب نوع dell بمعالج Intel core i3، 2.53 GHz، وذاكرة وصول عشوائي GB4، وعلى قاعدة البيانات CK+ كما ذكر مسبقاً. يبيّن الشكل (16) نتيجة التنفيذ على إطار الزرورة لسبعة مقاطع من قاعدة البيانات.



الشكل (16) نتيجة التنفيذ على إطار من قاعدة البيانات CK+

3-3-1- دقة الخوارزمية والتعقيد الزمني للتصنيف:  
أعطت الخوارزمية دقة 98.87% وذلك بأخذ حجم كتابة مخططة التدرجات الموجّهة 7x7، واستخدام تابع الأساس



الشكل (18) تأثير تغير بعد كتلة HOG على زمن التنفيذ [الباحث]  
3-3-3- تأثير استخدام آلات شعاع دعم متعددة على  
أداء الخوارزمية:

من أجل معرفة تأثير استخدام أربع آلات شعاع دعم مع تصويت الأغلبية بدلاً من آلية واحدة، جرى اختبار تشكيل شعاع واحد للخصائص (يحيى الخصائص كاملةً أي مخطط التدرجات الموجهة لصور الوجه والعينين والفم وفرق المسافات) وإدخالها إلى آلية شعاع دعم واحدة ومن ثم حساب كل من الدقة ومتناصف زمن التنفيذ بعد الاختبار على نفس قاعدة البيانات وأخذ أبعاد الكتلة  $7 \times 7$ . يبيّن الجدول (3) مقارنة بين الحالتين (استخدام آلية واحدة أو عدة آلات) ويمكن ملاحظة زيادة زمن التنفيذ باستخدام آلات شعاع دعم متعددة لكن مع تحقيق زيادة واضحة في الدقة.  
الجدول (3) مقارنة بين نتائج استخدام آلية شعاع دعم واحدة أو عدة آلات [الباحث]

SVM متعددة	SVM واحدة	دقة الخوارزمية
98.87%	81.1%	متناصف زمن التنفيذ
1.18 s	0.967s	

4-3-3- مقارنة الخوارزمية المقترحة مع بعض خوارزميات الطائق التقليدية:  
نجد في الجدول (4) مقارنة بين الخوارزمية المقترحة وبعض خوارزميات الطائق التقليدية من حيث الخصائص المستخدمة ودقة الكشف، بينما نجد في الجدول (5) المقارنة من حيث الإيجابيات والسلبيات، مع العلم أن جميع الخوارزميات اختبرت على قاعدة البيانات CK+ ما عدا الخوارزمية الخامسة التي اختبرت على قاعدة بيانات جديدة أنشأها الباحثون.

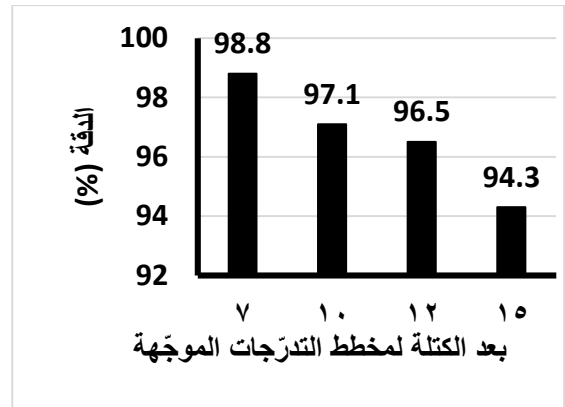
كشف تباين الوجه في الفيديو الرقمي باستخدام.....

تابع الخطى	.5%59	5.8%8	.2%19	.1%39	.1%39
تابع الأساس الشعاعي الغاوسي	%87.89	7.3%8	.3%39	.2%59	.5%59
تابع متعدد الحدود	.4%69	4.5%8	.2%29	.4%59	.2%39
تابع الظل	.8%19	5%5	.2%80	.2%29	%19

باعتبار أن تابع النواة لـ SVM هو RBF، يكون التعقيد الزمني لآلية شعاع دعم هو  $O(dk)$ ، حيث  $k$  عدد أشعة دعم و  $d$  هو عدد أبعاد الدخل [6]، لذلك سيكون التعقيد الزمني للتصنيف باستخدام آلات أشعة دعم الأربع هو  $O(kd_1 + kd_2 + kd_3 + kd_4)$ ، أما التعقيد الزمني لعملية اتخاذ القرار المبيّنة في الشكل (15) فهي  $O(1)$ .

3-3-2- تأثير حجم كتلة مخطط التدرجات الموجهة على الدقة و زمن التنفيذ:

بتجربة تغيير حجم كتلة HOG للصور المدرosaة (صورة الوجه، العينين، الفم)، لوحظ تغيير دقة الخوارزمية، حيث زادت الدقة بإيقاص حجم الكتلة، ولكن على حساب زمن التنفيذ حيث تستغرق الخوارزمية زمناً أكبر من أجل حجم كتلة أصغر. يوضح الشكل (17) العلاقة بين الدقة وبعد الكتلة لمخطط التدرجات الموجهة، بينما يعبر الشكل (18) عن العلاقة بين متانصف زمن التنفيذ (الذي حسب للمقاطع المخصصة للاختبار) وبعد الكتلة.



الشكل (17) تأثير تغير بعد كتلة HOG على الدقة [الباحث].

### سفور، حمود و مفضي

2	Kim, J. et al. (2022) [6]	-تغير الأبعاد والزوايا بين نقاط الاستدلال SVM -	96.64%
3	Haghpana, M. et al. (2022) [7]	-الأبعاد بين نقاط الاستدلال من مناطق الاهتمام، كشف الحواف ضمن مناطق الاهتمام - شبكة عصبية	96.12%
4	Parra, B. et al. (2022) [8]	-نموذج الشكل الشبكي WSM - مقارنة مع جداول	91.5%
5	Kulkarni, P. and TM, R. (2021) [9]	-الأبعاد بين نقاط الاستدلال، الأنماط الثانية المحلية LBP. KNN -	92%
6	Wang, Y. et al. (2021) [10]	-تغير الأبعاد والزوايا بين نقاط الاستدلال SVM -	98.37%
	الخوارزمية المقترنة	-تغير الأبعاد بين 15 من نقاط الاستدلال، مخطط التدرجات HOG الموجهة SVM-	98.87%

الجدول (5) مقارنة مع بعض الخوارزميات التقليدية من حيث الإيجابيات والسلبيات [الباحث]

	الإيجابيات	السلبيات
1	دقة عالية نسبياً	تحليل على مستوى الإطار
2	تحليل على مستوى تتابع الأطر	
3	تم الاختبار على الزمن الحقيقي	تحليل على مستوى الإطار

كشف تعابير الوجه في الفيديو الرقمي باستخدام.....  
نلاحظ من الجدول (5) أن التحليل في الخوارزميات ذات الأرقام (1-3-4-5) هو على المستوى الحيني فقط، بينما تتفوق الخوارزمية المقترنة مع الخوارزميات ذات الأرقام (2-6) بكون الدراسة في كل من المستويين الزمني والحيني، بمعنى أنها قادرة على كشف الانتقال من التعبير المحايد إلى تعبير آخر وليس فقط كشف وجود تعبير ما في إطار محدد، كما يمكن أن نلاحظ من الجدولين تجاوز دقة الخوارزمية المقترنة دقة الخوارزميتين (6-2)، بالإضافة إلى كشف التعابير السبعة كاملةً، خلافاً للخوارزمية السادسة التي كشفت الانتقال إلى ستة تعابير فقط.

يبين الجدول (6) مقارنة بين التعقيد الزمني للتصنيف للخوارزميات المرجعية التي تستخدم آلة شاعع دعم واحدة (الخوارزميتان 2 و6) والتعقيد الزمني للطريقة المتبعة، (يرتبط التعقيد بنواة SVM فيكون  $O(k)$  للتابع الخطى و  $O(kd)$  لتابع الأساس الشعاعي الغاوسي حيث  $k$  عدد أشعة الدعم و  $d$  أبعاد الدخل [21])، ويمكن أن نلاحظ زيادة التعقيد الزمني في الطريقة المقترنة بسبب استخدام عدة آلات شاعع دعم، ولكن مع الحصول على زيادة في الدقة.

الجدول (4) مقارنة مع بعض الخوارزميات التقليدية من حيث

الخصائص والدقة [الباحث]

	الخوارزمية	الخصائص وأئمة التصنيف	الدقة
1	Kar, N., K babu and S Bakshi (2022) [5]	-تحليل النمط المتغير VDM KELM -	98.81%

- سفور، حمود و مفظي  
 أعطت نتائج ذات دقة عالية نسبياً بالمقارنة مع باقي الخوارزميات بما فيها التي تدرس المقطع على مستوى تتابع الأطر.
- (c) 2- استُخدم لكشف التعبير في الفيديو بدقة عالية نسبياً  
 نوعان من الخصائص:  
 a. خاصية حيزية شكلية وهي مخطط التدرجات الموجّهة لثلاث صور مأخوذة من إطار الذروة.  
 b. خاصية حيزية هندسية وفي نفس الوقت خاصية زمنية وهي تغيير الأبعاد بين نقاط استدلال محددة بين الإطارات المرجعي وإطار الذروة.
- 2- يؤدي تخصيص آلة شعاع دعم لكل خاصية سواء حيزية أو زمنية في مقطع الفيديو ومن ثم تتفيد آلية اتخاذ قرار حسب التصويت بالأغلبية إلى إعطاء دقة أعلى من حالة الاعتماد على آلة واحدة مع شعاع واحد للخصوصيات ولكن مع زيادة التعقيد الحسابي.
- 3- التابع الأمثل لنواة آلات شعاع الدعم لكشف التعبير باستخدام الخصائص السابقة لمقطع الفيديو (مخطط التدرجات الموجّهة وتغيير الأبعاد بين نقاط الاستدلال) هو التابع الأساس الشعاعي الغاوسي.
- 4- يؤدي إنقاوص حجم كتلة مخطط التدرجات الموجّهة إلى زيادة دقة الكشف النهائية للمقطع ولكن على حساب سرعة التنفيذ.
- التمويل:** هذا البحث ممول من جامعة دمشق وفق رقم التمويل(501100020595).

## References:

- [1] Darwin, C. (1873). The Expression of the Emotions in Man and Animals. New York, D. APPLETON AND COMPANY.
- [2] Ekman, P., Heider, K. (1988) The universality of a contempt expression: A replication. Motiv Emot 12,303-308.
- [3] Lucey, P., Cohn, J., et al. (2010) The Extended Cohn-Kanade Dataset (CK+): A complete dataset for action unit. Disney Research, 4615 Forbes

## كشف تعبير الوجه في الفيديو الرقمي باستخدام.....

4	لا يوجد حاجة إلى التدريب	تحليل على مستوى الإطار
5	الاختبار على قاعدة بيانات تقسم كل تعبير إلى ثلاثة مستويات	تحليل على مستوى الإطار
6	التحليل على مستوى تتابع الأطر	عدد التعبير 6 فقط
7	- التحليل على مستوى تتابع الأطر - عدد التعبير 7	

الجدول (6) مقارنة بين التعقيد الزمني للتصنيف وفق الطريقة المقترحة مع تعقيد التصنيف الخاص بالخوارزميتين المعتمدين على [الباحث SVM]

نوعة SVM	التعقيد الزمني لعملية التصنيف	عدد التعبير	الدقة
2	$O(kd)$	7	96.64% (الاختبار على مستوى الإطار الواحد)
6	$O(d)$	6	%98.37 (الاختبار على مستوى تتابع الأطر)
مُؤكّد	$O(kd_1 + kd_2 + kd_3 + kd_4)$	7	%98.87 (الاختبار على مستوى تتابع الأطر)

## 4- الاستنتاجات:

يمكن تلخيص استنتاجات البحث بالبنود التالية:

1- تم تطوير خوارزمية جديدة لكشف تعبير الوجه في الفيديو الرقمي بالاعتماد على دراسة حيزية و زمنية لإطار الذروة في المقطع، تتميز الخوارزمية المقترحة عن الخوارزميات السابقة بأنها تجمع ما يلي:

(a) تدرس مقطع الفيديو على مستوى تتابع الأطر وليس فقط على المستوى الحيزي.

(b) تكشف الانتقال إلى التعبير السبعة المشمولة في قاعدة البيانات كاملة.

سفور، حمود و مفظي

- [13] Carcagnì, P., Coco, M. (2015) Facial expression recognition and histograms of oriented gradients: a comprehensive study. SpringerPlus..... كشف تعابير الوجه في الفيديو الرقمي باستخدام..... Ave, Pittsburgh, PA 15213. and emotion-specified expression.
- [14] Chang, S., Xiaoqing, D., Ch,i F. (2011) Histogram of the Oriented Gradient for Face Recognition., TSINGHUA SCIENCE AND TECHNOLOGY, Volume 16, Number 2.
- [15] Greche, L., ES-Sbai, N. (2016). Automatic System for Facial Expression Recognition Based Histogram of Oriented Gradient and Normalized Cross Correlation. IEEE.
- [16] Awad, M., Khanna, R. (2015). Support Vector Machines for Classification, [6] Kim, J., Kim, M. & Suh, H. (2022). Hybrid Approach for Facial Expression Recognition Using Convolutional Neural Networks and SVM. applied sciences. <https://creativecommons.org/licenses/by/4.0/>.
- [17] Kecman, V. (2005). Support Vector Machines – An Introduction. The University of Auckland, School of Engineering, Auckland, New Zealand.
- [18] Rhys, H. (2020) Machine Learning with R, the tidyverse, and mlr.
- [19] Sun, B., Lee, M. (2006). SUPPORT VECTOR MACHINE FOR MULTIPLE FEATURE CLASSIFICATION. The Chinese University of Hong Kong, Shatin, Hong Kong.
- [20] Gojal, A. (2018). Learning a Multiview Weighted Majority Vote Classifier: Using PAC Bayesian Theory and Boosting.
- [21] Maji, S., Berg, A. & Malik, J. (2012). Efficient Classification for Additive Kernel SVMs. IEEE TRANSACTION ON PATTERN ANALYSIS AND MACHINE INTELLIGENCE.
- [7] Haghpana, M., Saeedizade, E., Masouleh, M., & Kalhor, A. (2022). Real-Time Facial Expression Recognition using Facial Landmarks and Neural Networks. International Conference on Machine Vision and Image Processing (MVIP),1-7. <https://10.1109/MVIP53647.2022.9738754>.
- [8] Barra, P., Maio, L.D., Barra, S. (2021). Emotion recognition by web-shaped model. Multimed Tools Appl. <https://doi.org/10.1007/s11042-022-13361-6>.
- [9] Kulkarni, P. & M, R. (2021). Video Based Sub-Categorized Facial Emotion Detection Using LBP and Edge Computing. International Information and Engineering Technology Association, 35(3), 55-61. <http://ieta.org/journals/ria>.
- [10] Wang, Y., Miao, S., Gu, X., Zhou, Y. & Zhang, B. (2021). Dynamic Facial Expressions Recognition based on Fusion of handcraft features. IAENG International Journal of Computer Science, 48(3).
- [11] Kopp, P., Bradlie, D. (2019) Analysis and Improvement of Facial Landmark Detection. Swiss Federal Institute of Technology Zurich.
- [12] Hamdi, S. (2018) OBJECT DETECTION USING HISTOGRAM OF GRADIENTS. SCHOOL OF SCIENCE & ENGINEERING – AL AKHAWAYN UNIVERSITY.